

Fig. 1

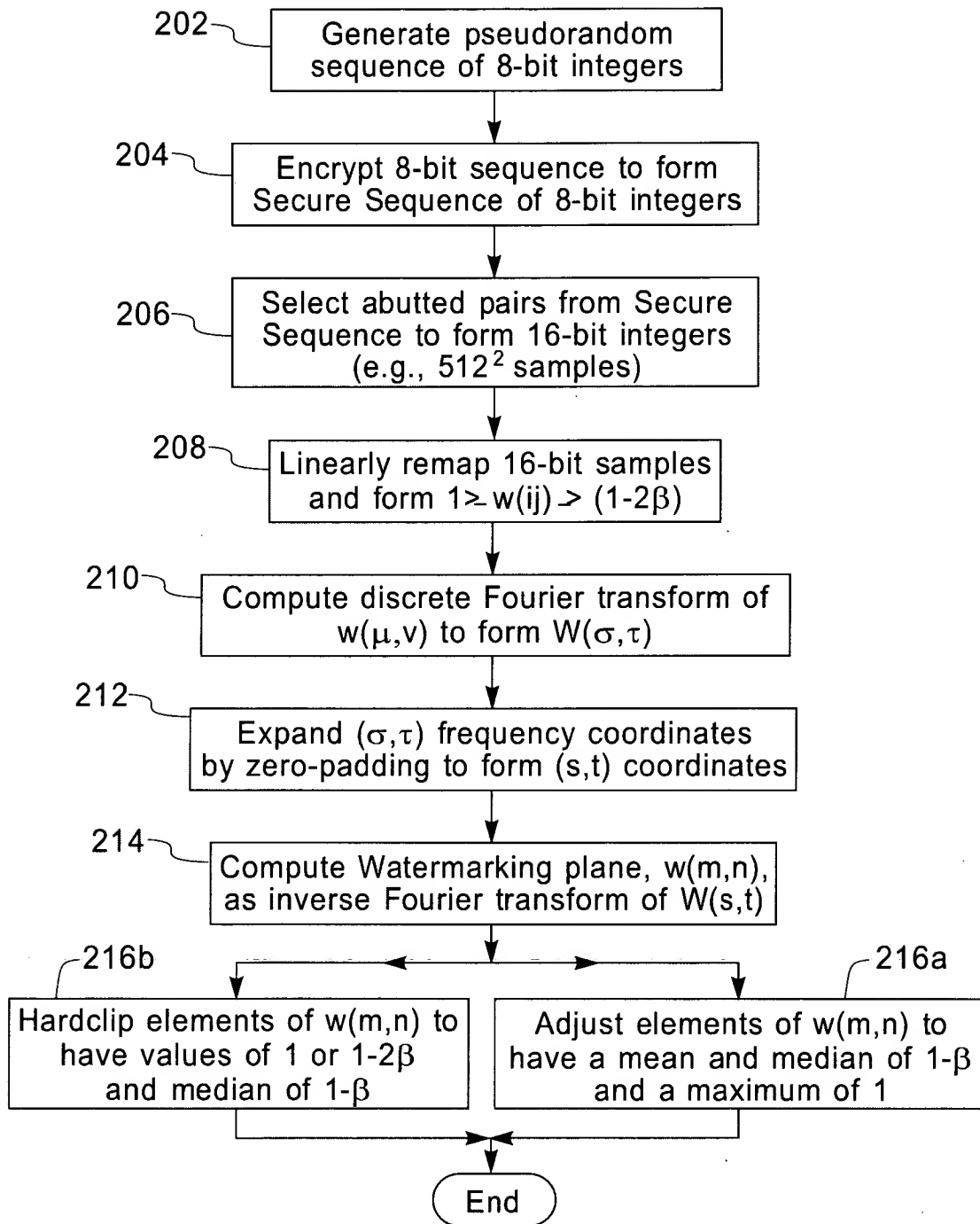


Fig. 2

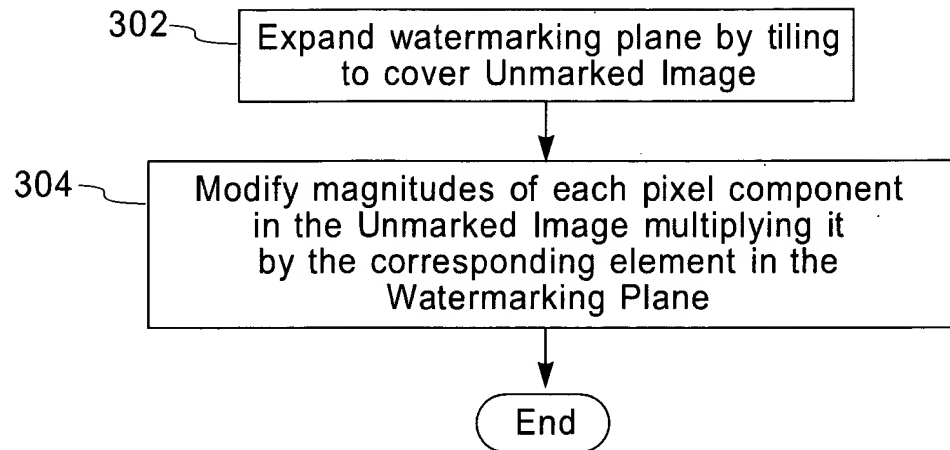


Fig. 3

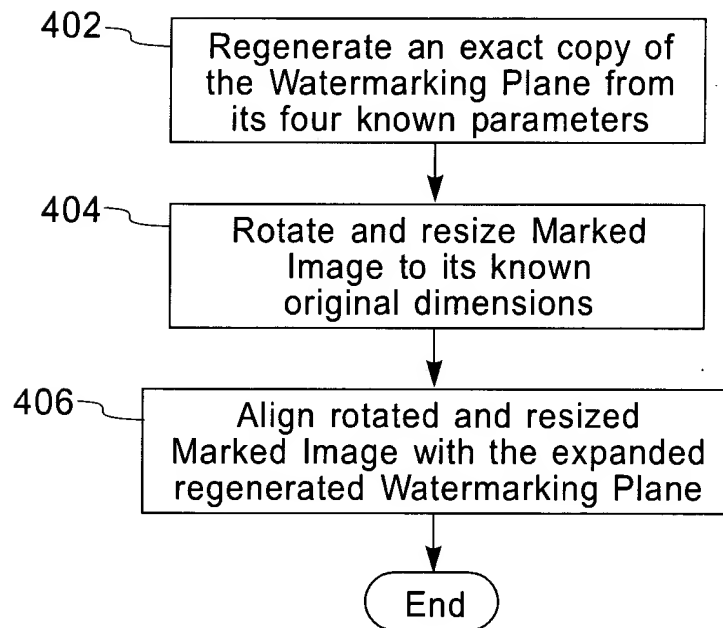


Fig. 4

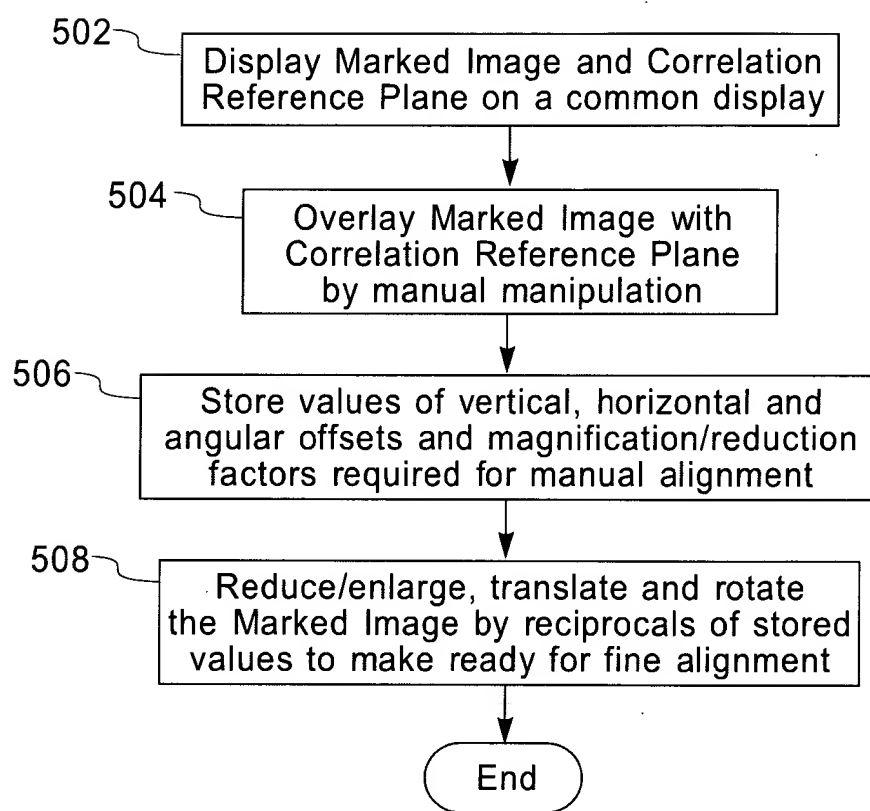


Fig. 5

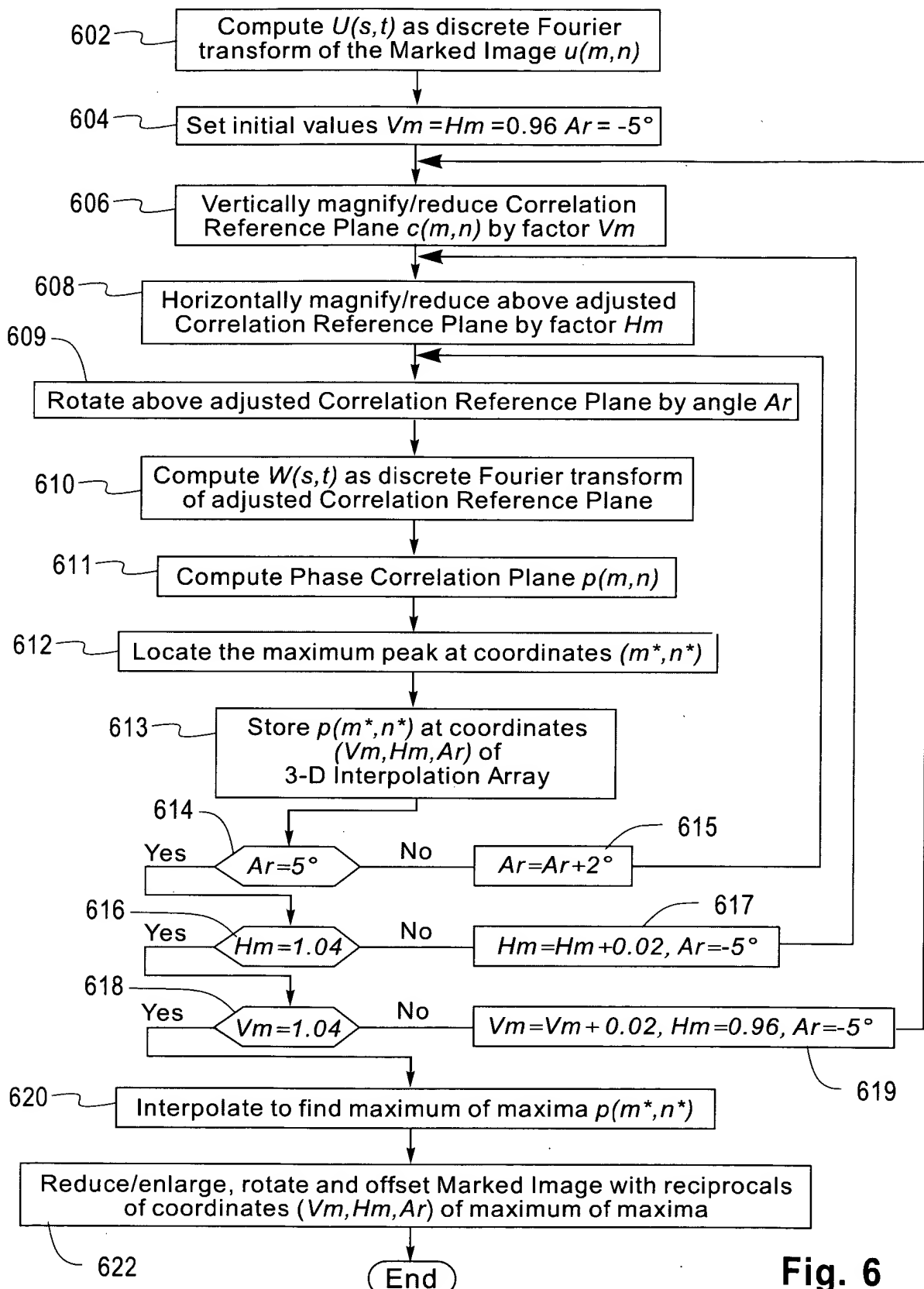
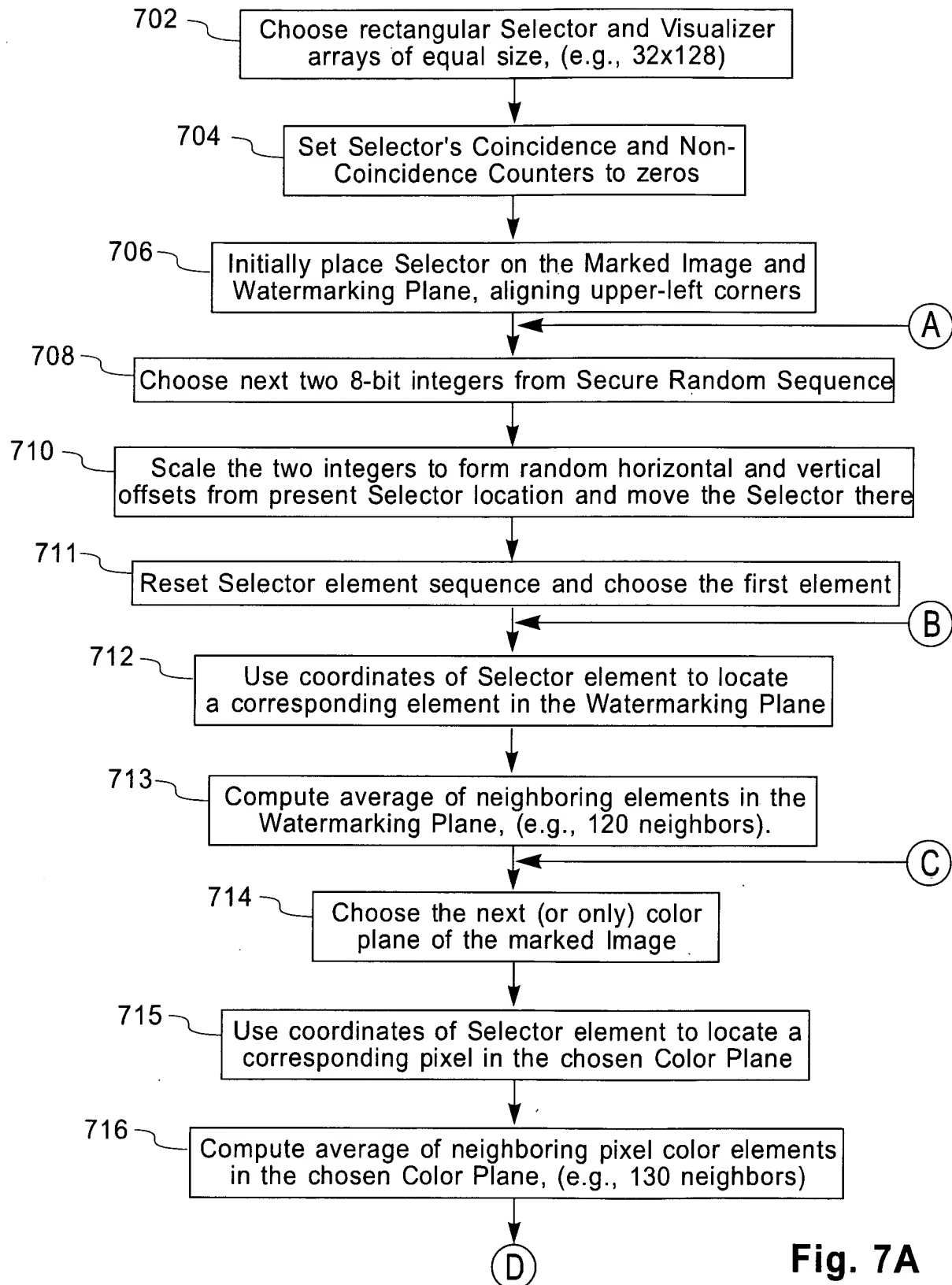


Fig. 6

**Fig. 7A**

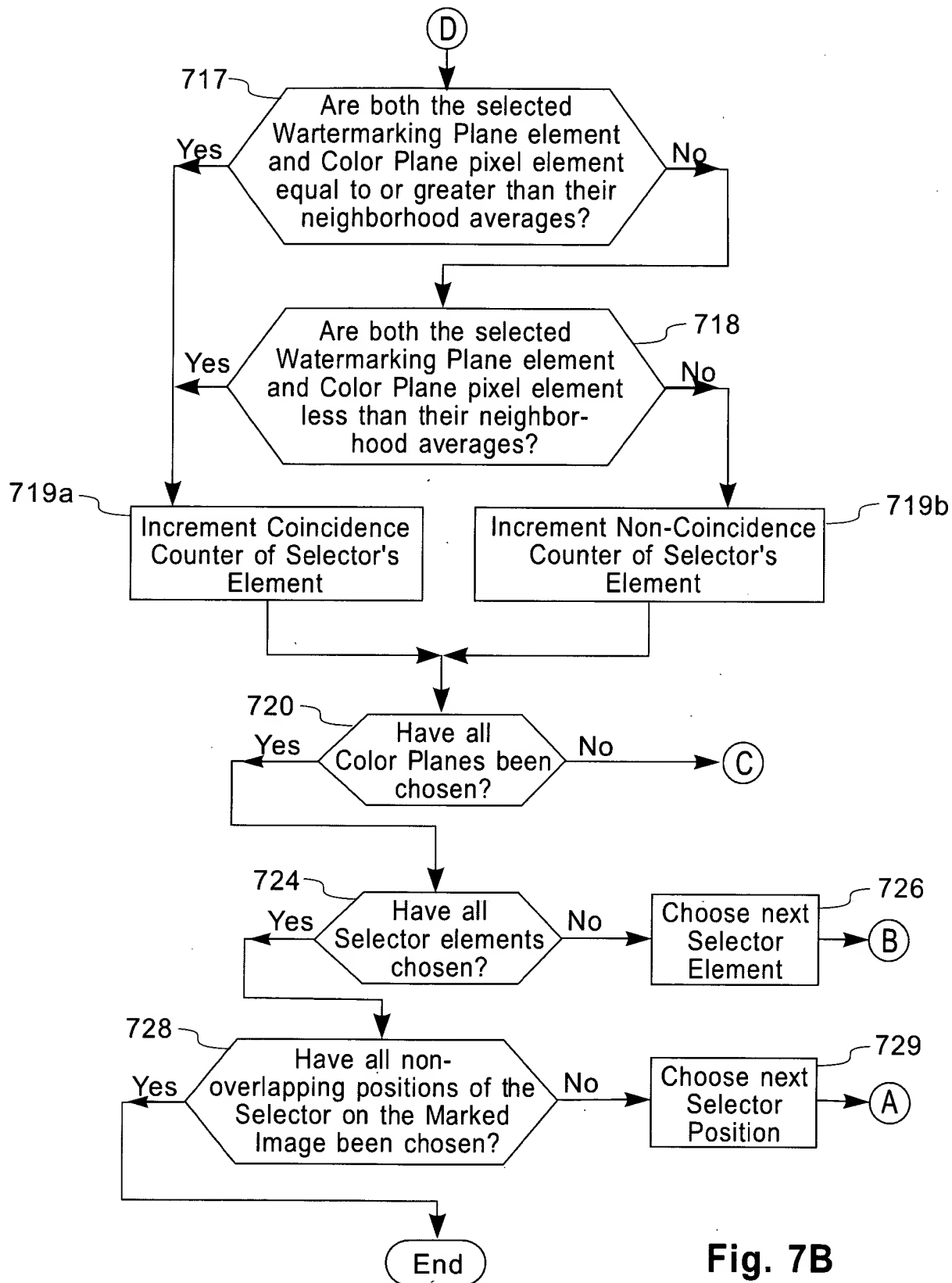
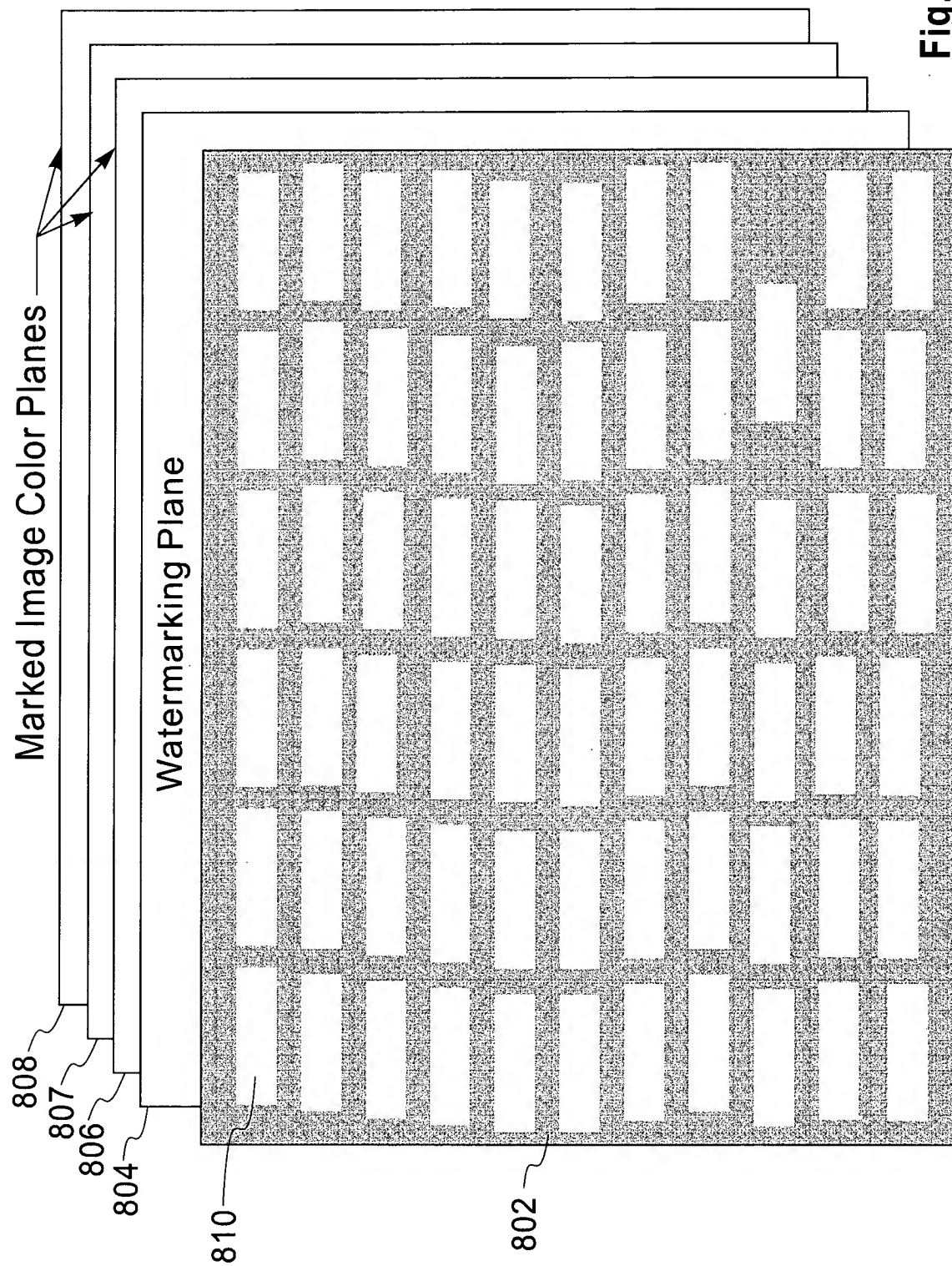


Fig. 7B

Fig. 8

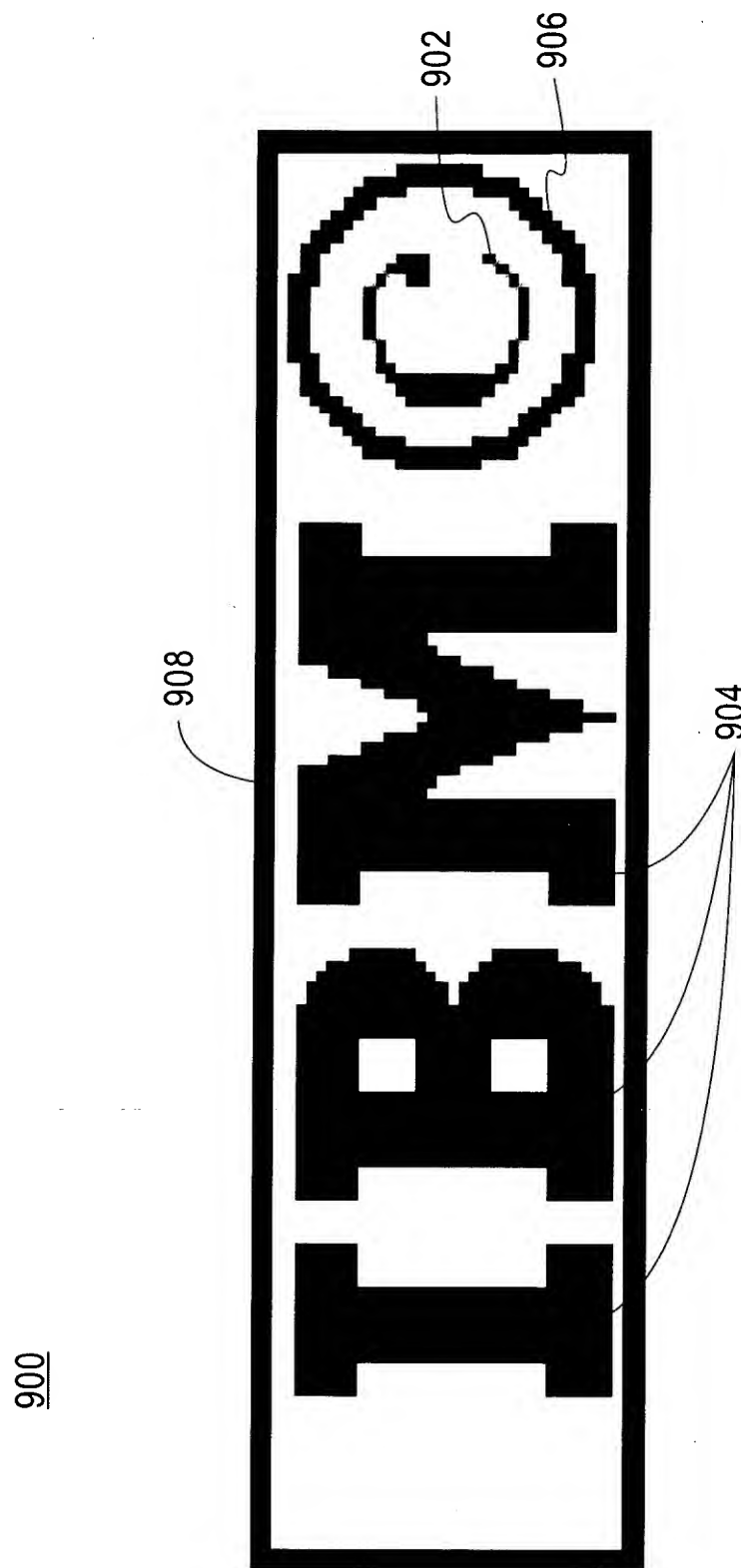


Fig. 9

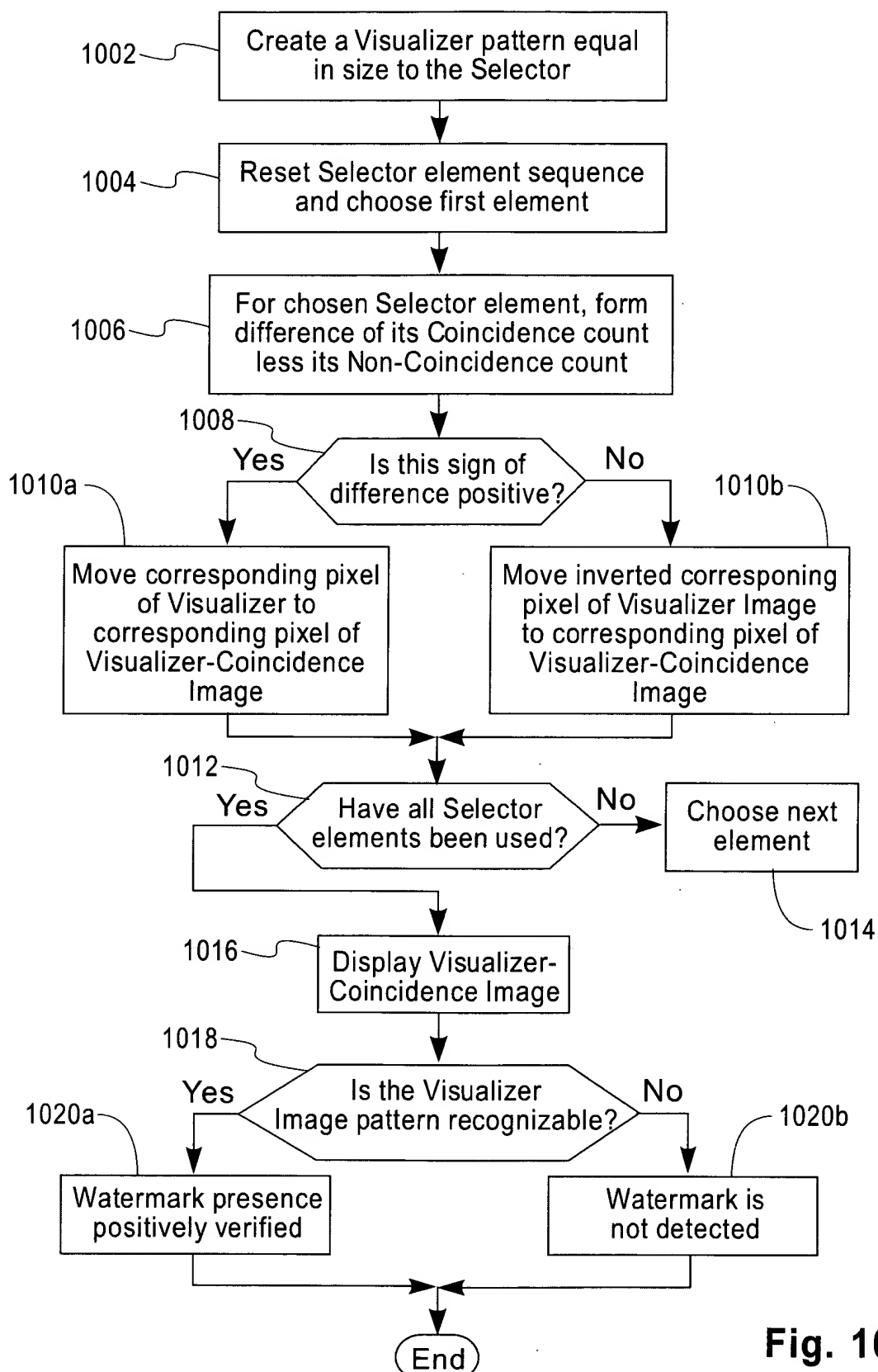


Fig. 10

11/19

Braudaway et al.
L.P.H. YOR019960153US4

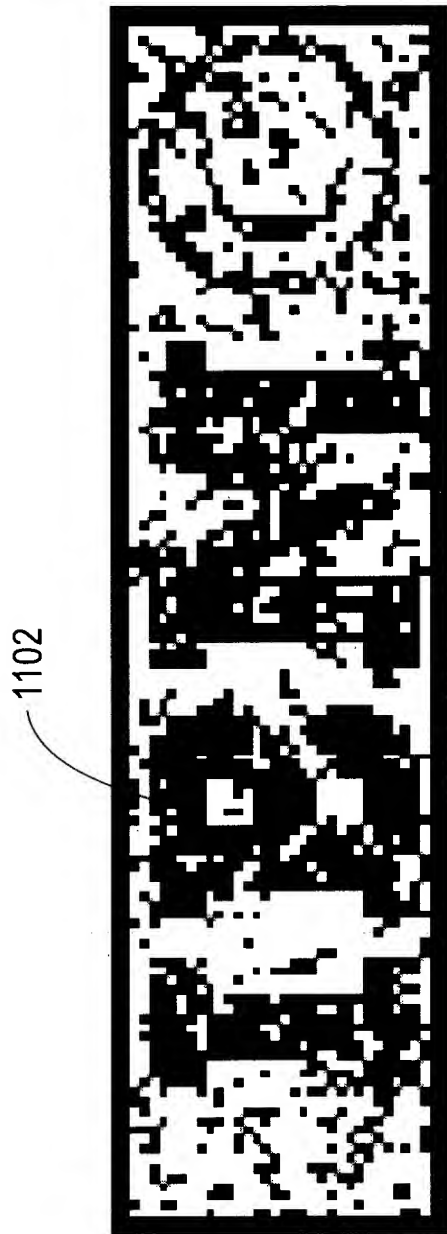


Fig. 11

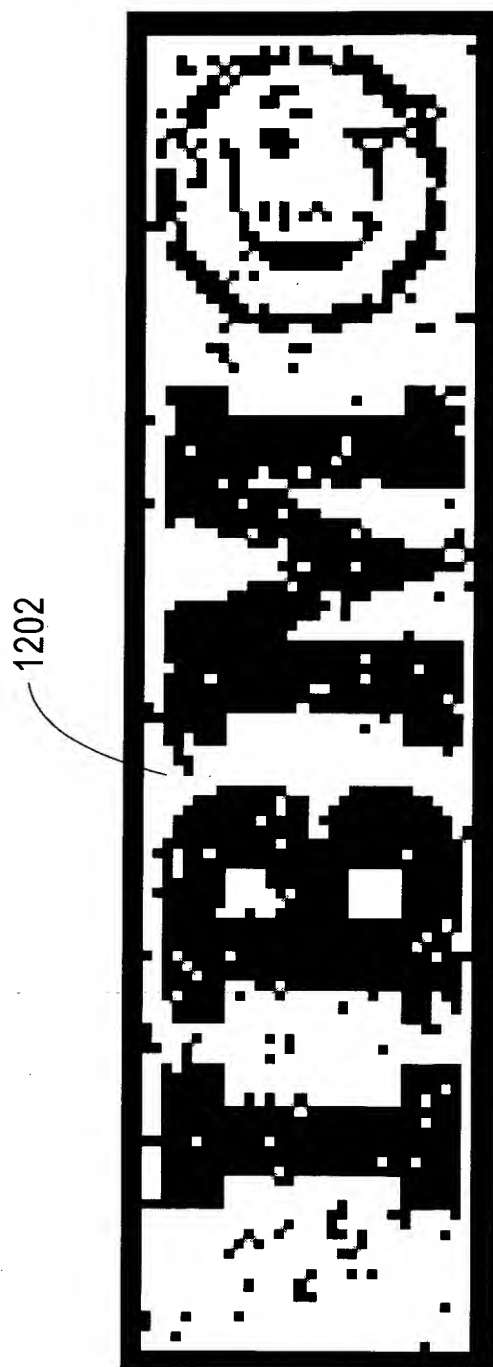


Fig. 12

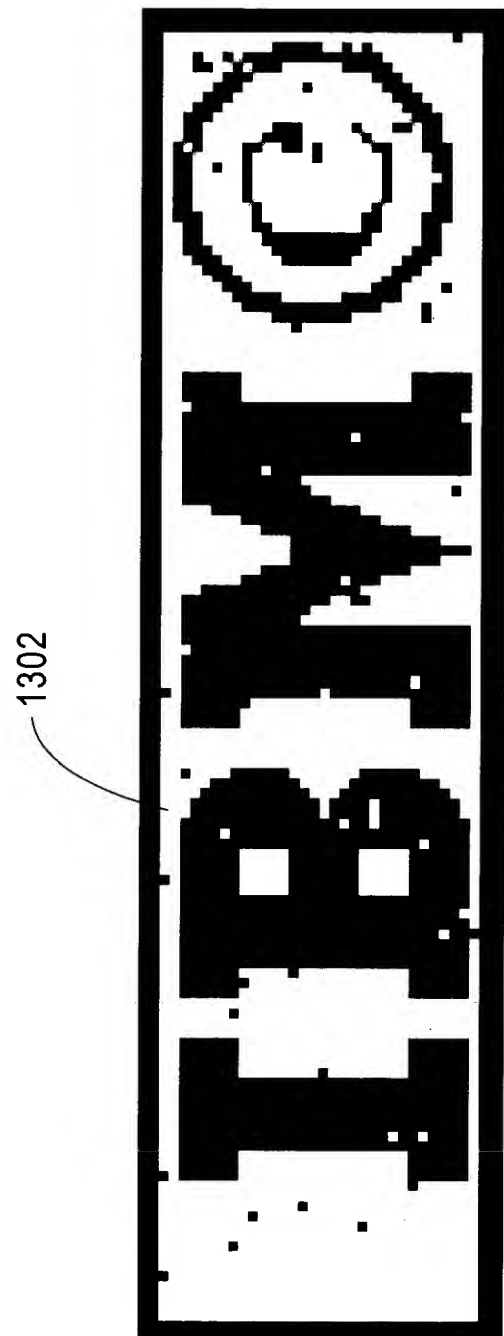


Fig. 13

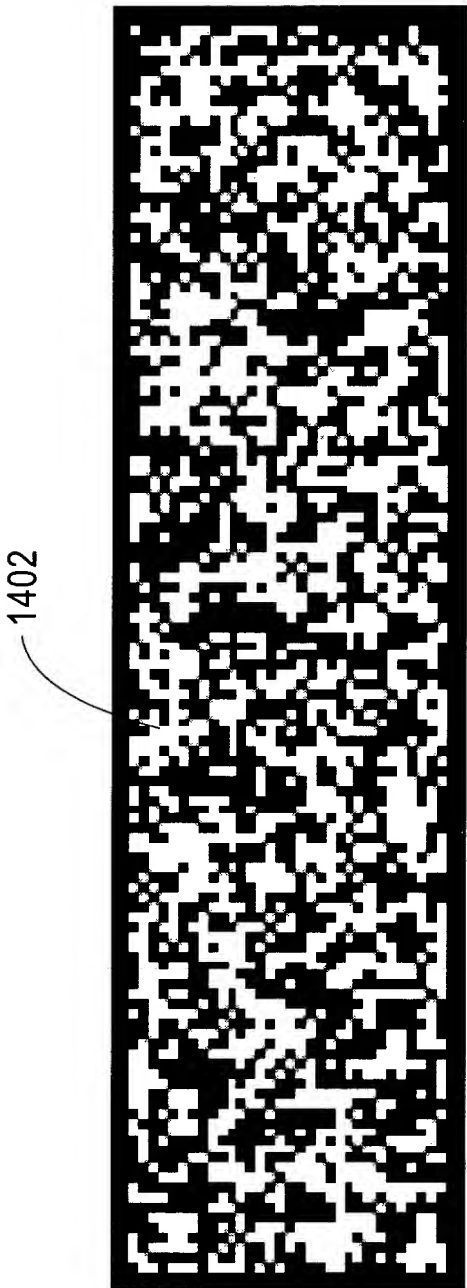


Fig. 14

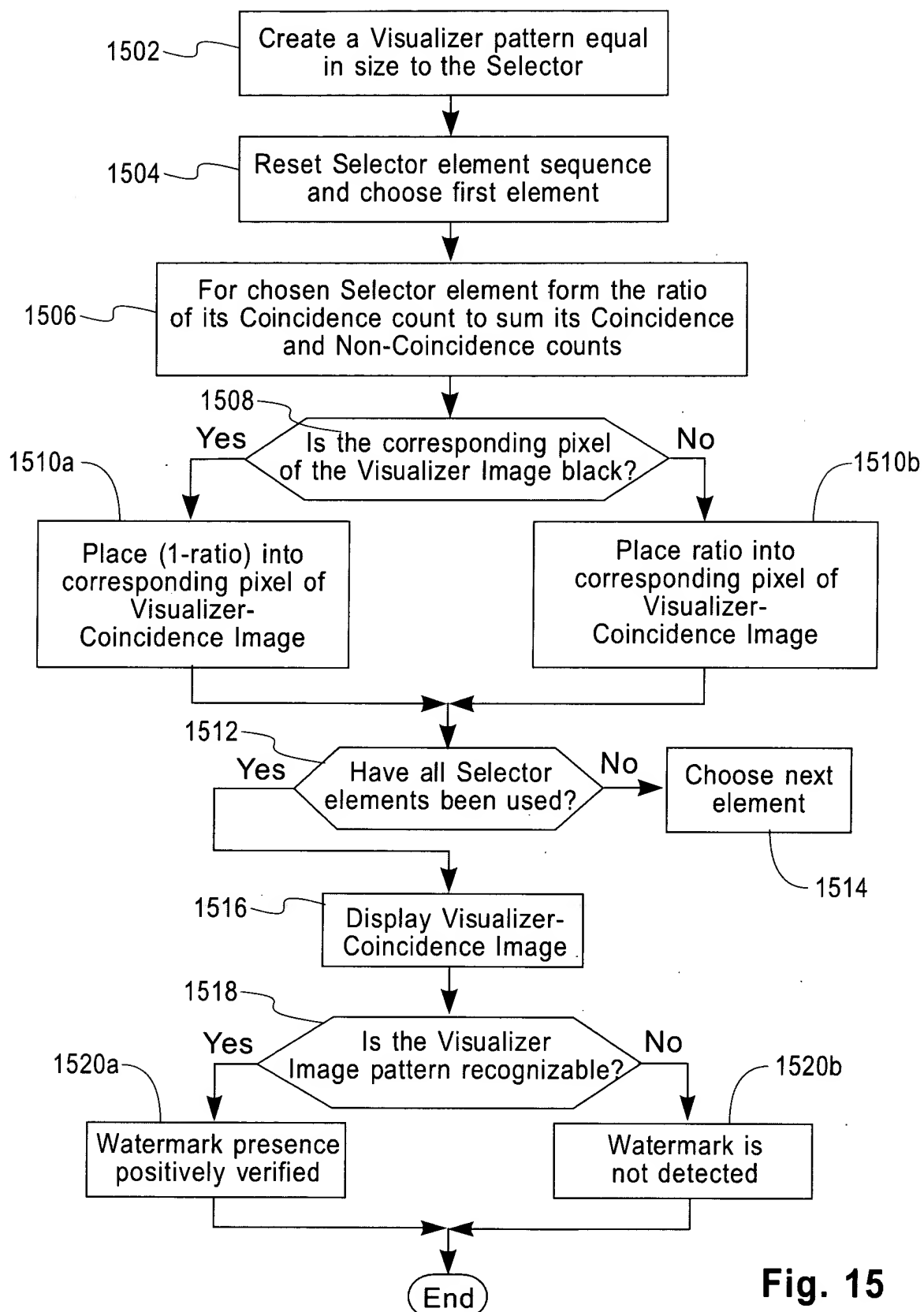


Fig. 15

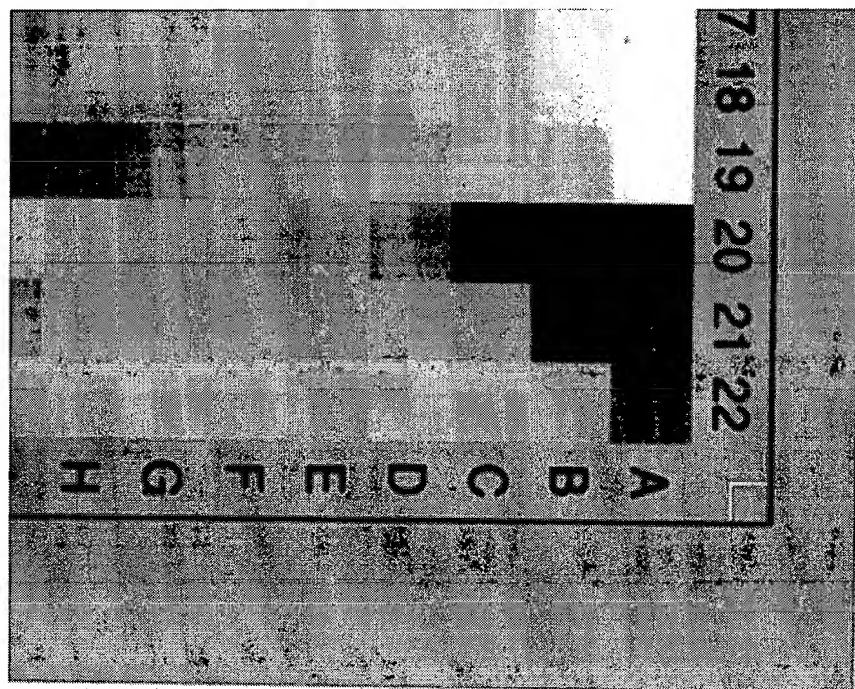


Fig. 16

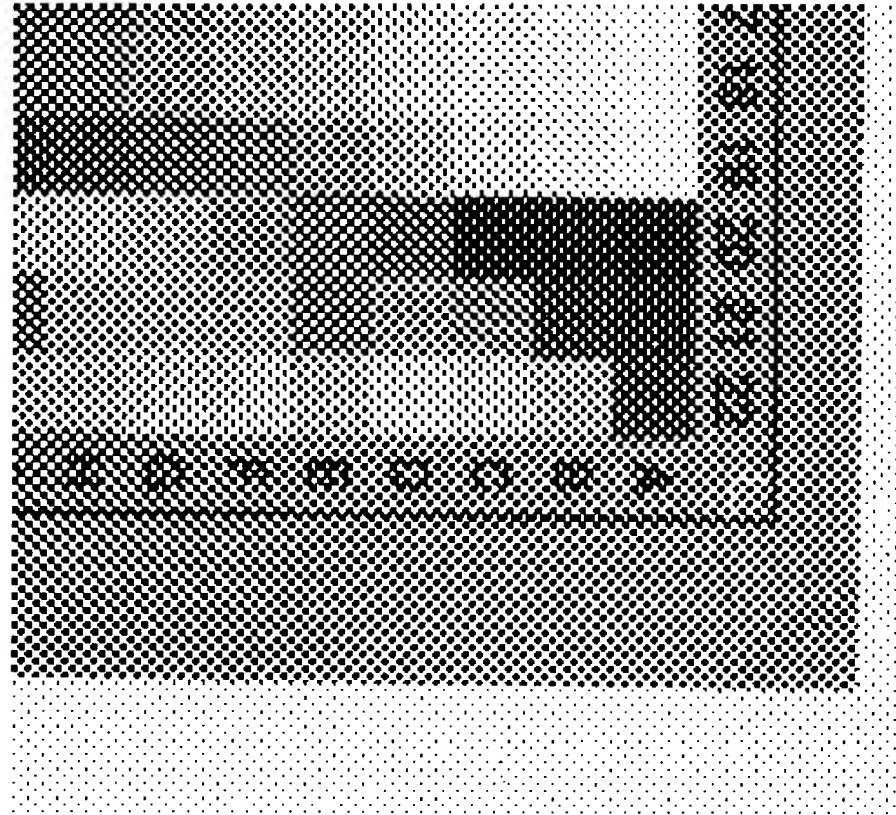


Fig. 17

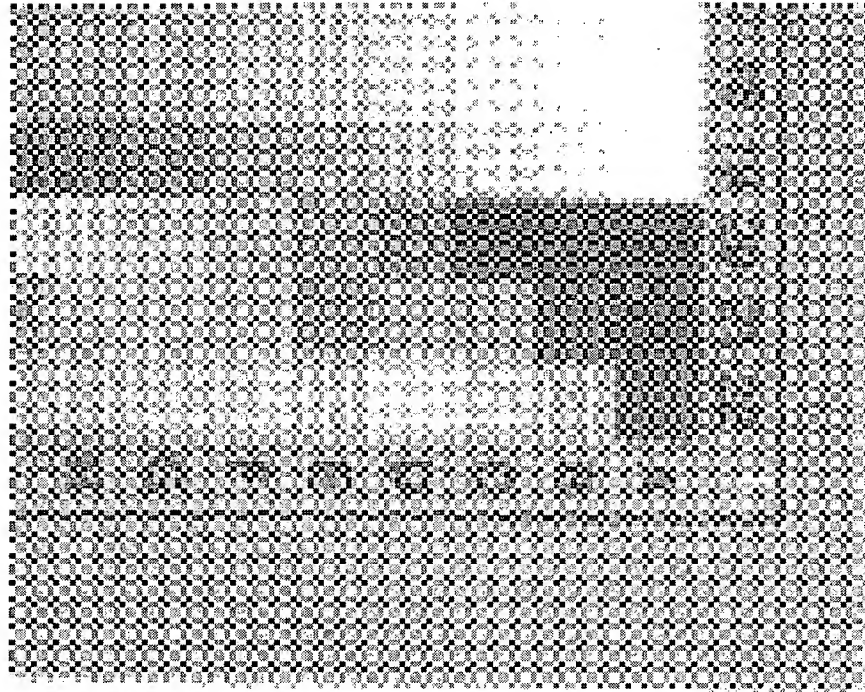


Fig. 18

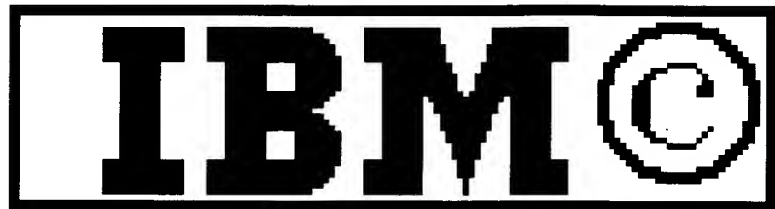


Fig. 19



Fig. 20



Fig. 21